

О получении хлора из хлористого водорода

А. Д. КУСТОВ, О. Г. ПАРФЕНОВ, В. Е. ТАРАБАНЬКО, Н. В. ТАРАБАНЬКО

Институт химии и химической технологии Сибирского отделения РАН,
ул. К. Маркса, 42, Красноярск 660049 (Россия)

E-mail: parf@icct.ru

Аннотация

С целью увеличения объемной производительности W_V реактора конверсии HCl в молекулярный хлор предложено в Дикон-процессе вместо традиционных медных использовать катализаторы на основе ванадия, которые на порядок (до 430 кг Cl₂/(м³ · ч)) повышают W_V реактора. В качестве альтернативы каталитическому способу разработан железоводородный способ, повышающий W_V до 3000 кг Cl₂/(м³ · ч) и более, что открывает дорогу использованию этого процесса в крупнотоннажной экстрактивной металлургии поликомпонентных окисленных руд и концентратов, в частности ванадий-титан-железных. Отмечены трудности практической реализации предлагаемых способов.

Ключевые слова: хлор, хлороводород, Дикон-процесс, хлорид железа (II)

ВВЕДЕНИЕ

В настоящее время основной источник титана и ванадия на планете – месторождения титаномагнетитов, в том числе крупнейшее из разведанных по содержанию ванадия Чинайское месторождение ванадий-титан-железных руд (Забайкальский край), равно как и большинство других месторождений в России и за ее пределами, не осваиваются из-за отсутствия промышленной технологии переработки руд с повышенным содержанием титана¹. Традиционная для железных руд технология доменной плавки в данном случае не применима из-за высокой вязкости металлических шлаков. Существует пока единственный вариант решения этой проблемы – хлорид-субхлоридная высокоскоростная металлургия, позволяющая, минуя восстановительную плавку из титаномагнетитовых концентратов, извлекать селективно и практически без отходов основные компоненты – Ti, V, Fe, Al, Si. На первой стадии из концентрата селективно отгоняются в газовую фазу хлориды этих компонентов, на второй производится их субхлоридное алюминотермичес-

кое восстановление [1–3]. Характерное время полного технологического цикла концентрат – товарный продукт составляет десятки минут вместо десятков часов в промышленной металлургии поликремния, алюминия, ванадия и титана. Цикл не требует реагентов (кроме природного газа и кислорода воздуха) и замкнут по хлору, для чего необходимое для хлорирования оксидов алюминия и титана количество молекулярного хлора поступает из конвертора сухого хлористого водорода, образующегося в реакции плазменно-водородного восстановления хлорида алюминия.

В качестве используемого в промышленном масштабе способа конверсии HCl для высокоскоростной металлургии перспективен каталитический Дикон-процесс:



Он предпочтительнее электрохимической экстракции хлора из водного раствора HCl, поскольку не требует прямых затрат электрической энергии, что чрезвычайно важно для крупнотоннажной металлургии. Вместе с тем, используемые в промышленности катализаторы для реакции (1) характеризуются удельной производительностью реактора конверсии HCl на единицу массы катализатора W_m (кг Cl₂ на 1 кг катализатора в час) и на единицу объема W_V (кг Cl₂ на 1 м³ реактора в час)

¹Согласно ГОСТ 3476–74 на шлак доменный гранулированный, содержание в нем TiO₂ не должно превышать 4 %.

ТАБЛИЦА 1

Эффективность известных катализаторов окисления хлороводорода

Катализатор	Рабочая температура, °C	W_m , кг Cl_2 /(кг _{кат} · ч)	W_V , кг Cl_2 /(м ³ · ч)
CuCl_2 [4, 5]	350–450	0.01–0.05	6–30*
V_2O_5 [6]	375–400	0.02	40*
$\text{CuO}-\text{Cr}_2\text{O}_3$, шпинель [7]	350	0.08–0.09*	50–55
То же	350–425	0.15–0.25*	95–160

Примечание. В научной литературе отсутствуют достоверные данные по рутениевым катализаторам окисления HCl , для которых, предположительно, $W_m = 0.8$ –0.9.

*Оценка по данным, приведенным в соседнем столбце.

(табл. 1), которая на порядок меньше, чем расчетная объемная производительность реакторов синтеза и восстановления в хлорид-субхлоридной высокоскоростной металлургии: $W_V \sim 3600$ кг $\text{Ti}/(\text{м}^3 \cdot \text{ч})$ [1].

Настоящая работа посвящена решению принципиальной для высокоскоростной металлургии задачи – многократному по отношению к известным способам повышению производительности конверсии HCl . Ниже рассмотрены два варианта решения этой задачи.

ПОВЫШЕНИЕ ПРОИЗВОДИТЕЛЬНОСТИ КАТАЛИТИЧЕСКОГО РЕАКТОРА КОНВЕРСИИ

Для повышения производительности процесса (1) нами предложены ванадиевые катализаторы, которые ранее считались непригодными для этих целей ввиду высокой летучести ванадилхлорида [8]. Действительно, в равновесном состоянии в системе $\text{V}_2\text{O}_5 - \text{HCl} - \text{O}_2$ при температурах выше 330 °C находится только одно соединение ванадия – летучий VOCl_3 (рис. 1)². Его высокая летучесть, однако, не мешает проведению металлургического цикла комплексной переработки ванадий-содержащих руд и концентратов. Выносимый с хлором и водой из конвертора ванадий легко выделить и вернуть в конвертор. К тому же наши опыты показали, что при определенных условиях унос ванадия из конвертора можно заметно снизить.

В работе [9] исследовано поведение систем оксид ванадия (V) – хлориды щелочных металлов при 300–450 °C. При высоких температурах эти системы выделяют хлор, а V^{+4} в присутствии кислорода окисляется в V^{+5} . Скорость потери массы такими системами резко возрастает при их плавлении.

Сведения о перспективах применения ванадиевых катализаторов для окисления хлороводорода имеются только в патенте по низкоактивным расплавленным пиросульфатным системам [6] и в статье [8], где отмечается, что ванадий-хлоридная система в условиях опыта оказалась абсолютно неустойчивой вследствие образования и уноса окситрихлорида ванадия. Вместе с тем, в присутствии более стабильных соединений ванадия (напри-

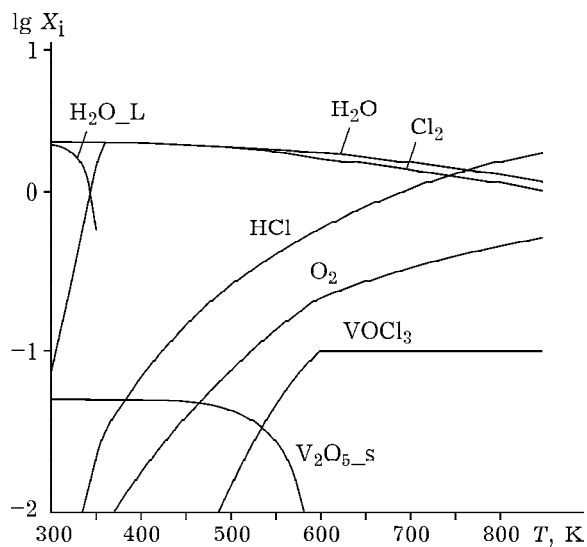


Рис. 1. Равновесный молярный состав X_i продуктов реакции исходной смеси $4\text{HCl} + \text{O}_2 + 0.05\text{V}_2\text{O}_5$ ($P = 0.1$ МПа). Здесь и на рис. 6, 7: индекс “s” относится к твердой фазе, L – к жидкой.

²Здесь и далее расчет равновесного состава смеси реагентов проводился минимизацией изобарно-изотермического потенциала.

мер, ванадатов металлов) равновесное состояние может характеризоваться меньшим парциальным давлением VOCl_3 и, следовательно, большей стабильностью катализатора.

Для реакции окисления хлороводорода кислородом нами изучена устойчивость и производительность двух катализаторов на основе оксида ванадия, промотированного хлоридами или сульфатами щелочных металлов.

Ванадий-хлоридный катализатор готовили путем спекания при $380\text{ }^{\circ}\text{C}$ порошкообразной смеси, состоящей (по массе) из 71.1 % V_2O_5 , 13.2 % LiCl и 15.7 % KCl . Такая смесь соответствует составу эвтектики $\text{LiCl}-\text{KCl}$ ($T_{\text{пл}} = 352\text{ }^{\circ}\text{C}$) и молярному соотношению ванадий/хлорид, равному 3 : 2.

В качестве ванадий-сульфатной системы использовали промышленный катализатор сернокислотного производства ИК-1-6 (Воскресенское ПО "Минудобрения"), содержащий 8 % V_2O_5 , 30 % K_2SO_4 на SiO_2 .

Установка для окисления состояла из последовательно соединенных баллона с кислородом, счетчика расхода газа, сaturатора для насыщения газовой смеси хлороводородом, обогреваемого U-образного стеклянного катализитического реактора и поглотительной склянки с 3 % раствором KI.

На рис. 2 приведены данные по стабильности и производительности изученных ката-

лизаторов и литературные данные. Ванадий-хлоридный катализатор практически стабилен в течение 2 ч, а W_m в зависимости от условий меняется от 0.19 до 0.78.

Для ванадий-сульфатного катализатора ИК-1-6 после 12 ч работы при $350\text{ }^{\circ}\text{C}$ W_m снижается с 0.340 до 0.240, а при $300\text{ }^{\circ}\text{C}$ в течение 10 ч – существенно не изменяется. Все данные получены на одном образце катализатора без замены и регенерации. Дезактивация катализаторов может быть связана с потерей активного компонента в составе уносимого VOCl_3 . потеря массы хлоридного катализатора составляет 2–20 % в час; катализатор ИК-1-6 более стабилен: за 12 ч потеря массы в пересчете на V_2O_5 составила около 5 %.

На рис. 3 представлены зависимости W_m от скорости потока. Для ванадий-хлоридной системы зависимость W_m линейна в изученном интервале. В условиях малой загрузки катализатора конверсия хлороводорода находится в интервале 5–15 %, а его средняя объемная доля по мере прохождения через слой катализатора меняется незначительно – от 20 до 17–19 % в зависимости от катализатора и скорости потока. Такими незначительными изменениями концентраций реагентов нельзя объяснить наблюдаемый трехкратный рост производительности катализаторов при увеличении скорости потока. Следователь-

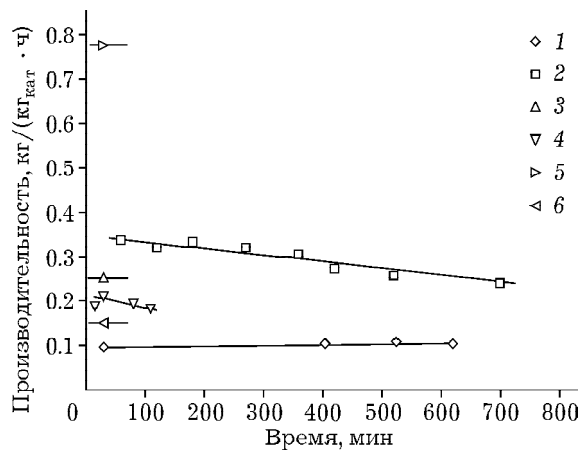


Рис. 2. Сравнительная производительность и стабильность катализаторов в реакции окисления HCl (внутренний диаметр реактора 7 мм, концентрация HCl в газовой фазе 20 %, скорость потока 6.3 л/ч, масса катализатора 1 г, фракция 0.63–1 мм): 1 – ИК-1-6, $300\text{ }^{\circ}\text{C}$; 2 – то же, $350\text{ }^{\circ}\text{C}$; 3 – хлоридный катализатор, $350\text{ }^{\circ}\text{C}$; 4 – то же, 5 г; 5 – то же, 25 л/ч; 6 – данные [7] (Co-Cr катализатор, $350\text{ }^{\circ}\text{C}$).

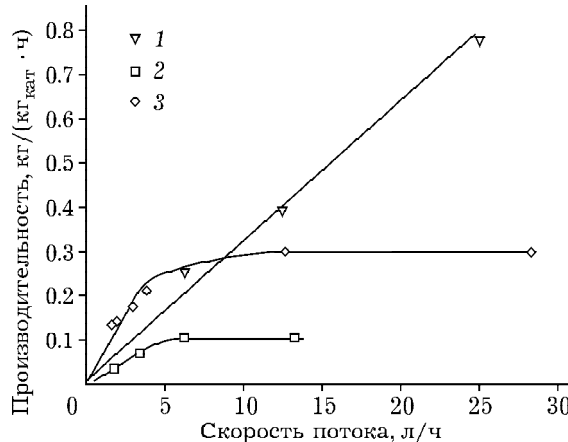


Рис. 3. Зависимость производительности катализаторов от скорости газового потока (внутренний диаметр реактора 7 мм, концентрация HCl в газовой фазе 20 %, скорость потока 6.3 л/ч, масса катализатора 1 г, фракция 0.63–1 мм, продолжительность реакции 15 мин): 1 – хлоридный катализатор, $350\text{ }^{\circ}\text{C}$; 2 – ИК-1-6, $300\text{ }^{\circ}\text{C}$; 3 – то же, $350\text{ }^{\circ}\text{C}$.

но, наблюдаемая зависимость от скорости потока обусловлена интенсивностью массопереноса, т. е. процесс протекает во внешнедиффузионном режиме. Величина W_m при 350 °C достигает 0.78, что в 1.5 раза выше, чем W_m кобальт-хромового катализатора при температуре на 100 K более высокой. Зависимости W_m для ИК-1-6 линейны в интервале до 4 л/ч при 300 °C и до 5 л/ч при 350 °C, что соответствует границе диффузионной области. Выход на плато при скорости потока выше 6 л/ч для 300 °C и 13 л/ч для 350 °C указывает на переход процесса в кинетическую область.

На рис. 4 приведены зависимости логарифма производительности катализаторов от обратной температуры. Эти зависимости линейны и позволяют оценить наблюдаемую энергию активации процесса. Для реакций, осложненных диффузией, наблюдаемая энергия активации сравнительно мала и ее значения возрастают до значений истинной энергии активации химической реакции при достаточно больших скоростях массообмена, т. е. в кинетическом режиме [10, с. 113]. Наблюдаемая энергия активации процесса на ванадий-хлоридном катализаторе характеризуется невысоким значением ((38.4 ± 1.7) кДж/моль), что подтверждает вывод о протекании процесса во внешнедиффузионной области. Наблюдаемая энергия активации процесса на сульфатном катализаторе возрастает с ((53.7 ± 2.8)) до 61.1 кДж/моль при увеличении

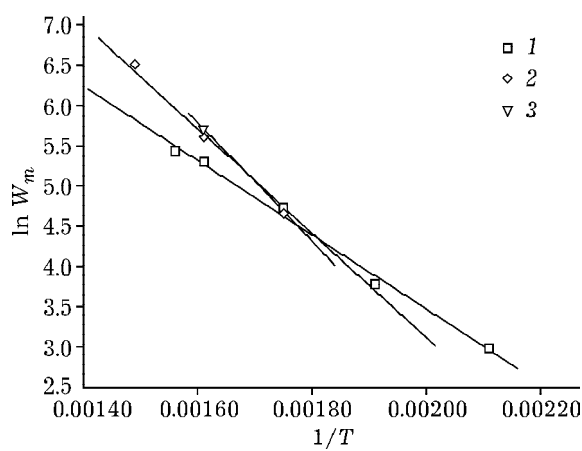


Рис. 4. Зависимости производительности ванадиевых катализаторов от температуры: 1 – хлоридный катализатор, 6.3 л/ч; 2 – ИК-1-6, 6.3 л/ч; 3 – то же, 13 л/ч; условия процесса см. рис. 2, 3.

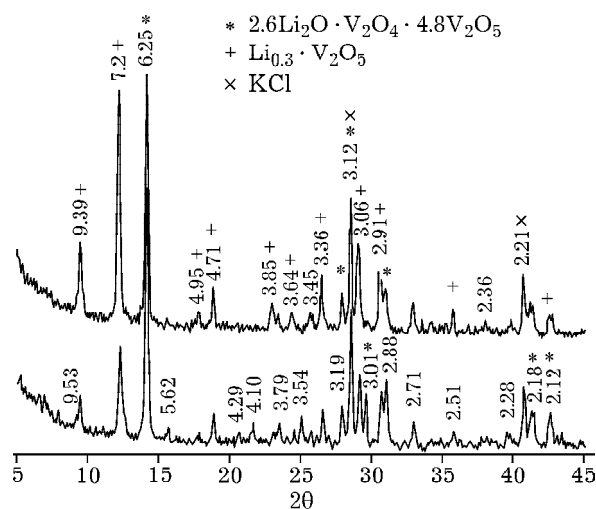


Рис. 5. Фрагменты дифрактограмм образцов катализатора: 1 – стационарного, работавшего в потоке $HCl-O_2$, 350 °C; 2 – восстановленного, работавшего в потоке $HCl-Ar$, 350 °C; межплоскостные расстояния указаны в ангстремах.

скорости потока с 6.3 до 13 л/ч. Такие изменения указывают на протекание процесса в переходном диффузионно-кинетическом режиме с ростом вклада кинетического режима при увеличении скорости массообмена [10].

На рис. 5 приведены фрагменты дифрактограмм ванадий-хлоридного катализатора для восстановленного образца (работавшего в потоке $HCl-Ar$) и стационарного (работавшего в потоке $HCl-O_2$). Анализ данных показывает, что обе ванадийсодержащие фазы характеризуются близкими значениями степени окисления ванадия (+4.8), но при восстановлении катализатора происходит уменьшение соотношения $Li : V$ для основной фазы в системе. Это означает, что в атмосфере HCl протекает взаимодействие ванадатов лития и HCl с образованием хлорида лития. В присутствии кислорода происходит окисление последнего с выделением хлора.

Для сульфатного катализатора стадия стехиометрического окисления HCl ванадием (V) может протекать в каталитическом процессе как отдельная (первая) стадия, т. е. исследуемый процесс протекает по стадийному механизму. Второй стадией такого механизма является окисление ванадия (IV) в ванадий (V) молекулярным кислородом.

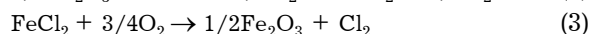
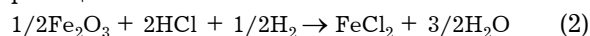
Полученные результаты показывают: 1) что изученные нами хлоридные и сульфатные ванадиевые катализаторы окисления HCl кислородом намного стабильнее, чем

можно было ожидать на основании выводов, сделанных в работе [8]; 2) что в процессе окисления HCl ванадий-хлоридные системы более активны, а ванадий-сульфатные – более устойчивы; 3) что достигнутые активности изученных каталитических систем превышают показатели всех описанных в научной периодике катализаторов окисления HCl, а объемная производительность W_V реактора конверсии с сульфатным катализатором в кинетическом режиме при 400 °C достигает значений 430 кг Cl₂/(м³ · ч).

ЖЕЛЕЗОВОДОРОДНАЯ КОНВЕРСИЯ ХЛОРОВОДОРОДА

Кatalитический способ экстракции хлора из хлороводорода по реакции (1) впервые реализован около 150 лет назад. Близкий к 100 % выход хлора в реакции (1) возможен только при низкой (~300 K) температуре, когда скорости химических реакций малы. С увеличением температуры, с одной стороны, повышается скорость реакций и, как следствие, удельная объемная производительность катализического реактора конверсии, а с другой – снижается равновесный выход (см. рис. 1). В этой связи интерес представляют реакции конверсии HCl с близким к 100 % выходом по хлору при высокой температуре (~900–1300 K), когда отпадает необходимость в использовании катализатора. Ниже представлен один из возможных вариантов решения этой проблемы с использованием оксида железа (III).

Идея использовать оксиды металлов для двухступенчатой конверсии HCl ($\text{MO}_x \rightarrow \text{MCl}_y \rightarrow \text{MO}_x$) не нова. В работе [11] на основании термодинамических расчетов показано, что применение для этой цели оксидов железа по реакциям



предпочтительнее, чем оксидов меди, марганца и никеля.

Авторы [11] без какого-либо экспериментального подтверждения предложили следующую схему проведения процесса: ряд герметичных колонн, заполненных инертным керамическим носителем с нанесенным тонкодисперсным оксидом железа (III), нагревается до температуры 470–720 K и продувается инерт-

ным газом для удаления кислорода. Затем через колонну пропускается смесь хлороводорода и водорода и удаляются образующиеся пары воды (реакция (2)). На носителе в результате осаждается твердый FeCl₂. После полного превращения оксида железа в хлорид через колонну пропускается кислород при температуре 470–720 K, и происходит выделение молекулярного хлора по реакции (3).

Наши расчеты (рис. 6) подтвердили теоретическую возможность такого процесса, но наши опыты (использовался порошок Fe₂O₃ крупностью ~0.074 мм) показали, что скорость восстановительного хлорирования по реакции (2) в указанном температурном диапазоне чрезвычайно низка и не представляет практического интереса для металлургии. При темпера-

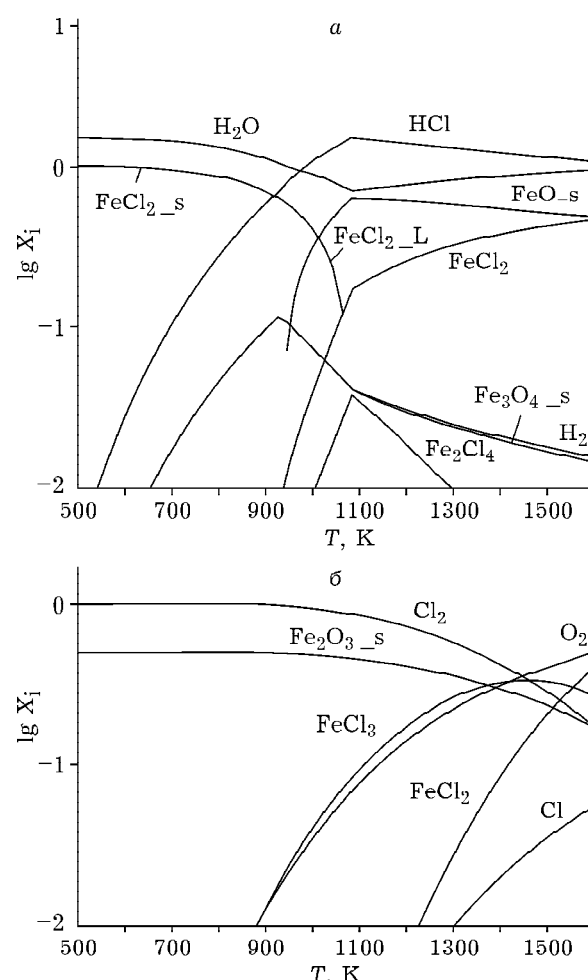


Рис. 6. Равновесный молярный состав X_i продуктов взаимодействия в смесях ($P = 0.1$ МПа): $a - \frac{1}{2}\text{Fe}_2\text{O}_3 + 2\text{HCl} + \frac{1}{2}\text{H}_2$; $b - \text{FeCl}_2 + \frac{3}{4}\text{O}_2$.

туре 720 К в течение 15 мин оксид железа (III) покрывается пленкой FeCl_2 , которая замедляет дальнейшее протекание реакции на его поверхности. При последующем продувании кислородом наблюдается вынос железа в составе FeCl_3 . Он образуется при взаимодействии FeCl_2 с молекулярным хлором.

Авторы работы [11] относят цикл по реакциям (2), (3) к катализитическому циклу, несмотря на расход водорода, отсутствие которого кардинально меняет равновесный состав реакции хлорирования. В отличие от оксида железа (II), оксид железа (III) хлороводородом хлорируется не полностью. В связи с этим приходится дополнительно вводить восстановитель – водород. Полученный хлорид железа (II) окисляется кислородом только до оксида железа (III).

С учетом изложенного выше в своих опытах реакцию (2) мы проводили при температуре 1373 К и стехиометрическом избытке (100 %) хлороводорода (рис. 7). Как показал эксперимент, такой избыток устанавливался самопроизвольно при хлорировании таблетки Fe_2O_3 смесью HCl и H_2 . При таких условиях хлорирование шло с высокой скоростью без образования FeO , как могло бы быть без избытка HCl (см. рис. 6). Поток хлорирующего агента Q на таблетку варьировался от 0.5 до 2 cm^3/s . Установлено, что удельная скопость хлорирования $W_{s \text{ Cl}}$ спеченной из порошка Fe_2O_3 крупностью ~0.074 мм таблетки плотностью 4500 kg/m^3 составляет 0.01 $\text{kg Cl}_2/(\text{m}^2 \cdot \text{s})$ при $Q = 1 \text{ cm}^3/\text{s}$ и линейно зависит от Q в указанном выше диапазоне. Скорость хлорирования определялась по убыли массы в процессе вытравливания каверны на торцевой поверхности таблетки (рис. 8) и пересчитывалась на связанный хлор в составе FeCl_2 .

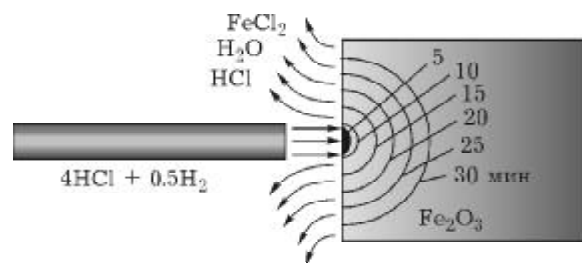


Рис. 8. Схема травления таблетки спеченного оксида железа (III) потоком HCl с восстановителем (H_2). $T = 1373 \text{ K}$, $P = 0.1 \text{ MPa}$.

Скорость хлорирования $W_{s \text{ Cl}}$ спеченной из порошка Fe_2O_3 крупностью ~0.074 мм таблетки плотностью 4500 kg/m^3 составляет 0.01 $\text{kg Cl}_2/(\text{m}^2 \cdot \text{s})$ при $Q = 1 \text{ cm}^3/\text{s}$ и линейно зависит от Q в указанном выше диапазоне. Скорость хлорирования определялась по убыли массы в процессе вытравливания каверны на торцевой поверхности таблетки (рис. 8) и пересчитывалась на связанный хлор в составе FeCl_2 .

Следует отметить, что полученные значения $W_{s \text{ Cl}}$ относятся только к монокомпонентному сырью. Для проверки этого таблетка аналогичного размера прессовалась и спекалась из ильменитового концентрата (Fe_2O_3 25.2 %, TiO_2 63.5 %). Установлено, что при прочих равных условиях скорость отгонки железа в 10 раз меньше. Это естественно было бы связать с малой скоростью диффузии хлорсодержащих молекул через решетку рутила.

Скорость реакции (2) W_V по связанным с железом хлору оценим для следующих допущений: 1) оксид железа (III) подается в реактор в противотоке к HCl в виде гранул сферической формы с диаметром D и плотностью $\rho = 4500 \text{ kg/m}^3$; 2) удельная скорость хлорирования одинакова для всех точек сферической поверхности гранулы и равна найденному выше значению $W_{s \text{ Cl}}$ ($0.01 \text{ kg Cl}_2/(\text{m}^2 \cdot \text{s})$); 3) удельная скорость хлорирования $W_{s \text{ Cl}}$ определяется избытком HCl и не зависит от концентрации H_2O в окружающем гранулу пространстве. Пусть порозность слоя засыпки реактора гранулами равна 0.4. Тогда $W_V = 21600 W_{s \text{ Cl}}(1 - \varepsilon)/D$. Для $D = 0.001 \text{ m}$ получаем $W_V = 129.6 \text{ t}/(\text{m}^3 \cdot \text{ч})$. Таким образом, производительность реакции (2) на порядки превышает производительность Дикон-процесса и может варьироваться в широком диапазоне изменения параметров Q , D и ε .

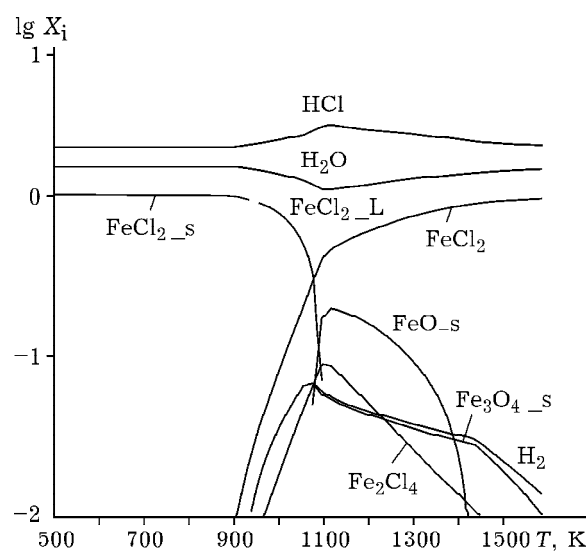


Рис. 7. Равновесный молярный состав X_i продуктов взаимодействия в смеси $1/2\text{Fe}_2\text{O}_3 + 4\text{HCl} + 1/2\text{H}_2$ ($P = 0.1 \text{ MPa}$).

Другой, менее предсказуемый вывод из результатов эксперимента состоит в том, что гетерогенная реакция (2) не является лимитирующей в железоводородной экстракции хлора из HCl при высоких температурах. Как выяснилось в ходе опытов, реакция (3) (см. рис. 6, б) газообразных хлорида железа (II) и кислорода с получением твердого Fe_2O_3 в действительности представляет большую трудность для практической реализации, чем реакция (2), и протекает медленнее. Это связано с тем, что, как и нуклеация титана в потоке реакционных газов [1], нуклеация макрочастиц Fe_2O_3 лимитируется скоростью диффузационного подвода реагентов к зародышам из оксида железа, которые рекомендуется вводить в поток для ускорения процесса [12]. В результате скорость осаждения Fe_2O_3 определяется плотностью запыления зародышами потока реакционных газов и объемная производительность реактора по порядку величины, как и в [1], может быть равна 3 т $\text{Cl}_2/(m^3 \cdot ч)$.

Реакцию окисления FeCl_2 мы осуществляли в близком к описанному в [13] режиме выделения молекулярного хлора сжиганием хлоридов железа (III) в кислороде. Авторы работы [13] обнаружили, что выход оксидов железа и хлора при взаимодействии FeCl_3 с молекулярным кислородом увеличивается, если процесс вести в две стадии. В первой зоне реактора происходит окисление хлоридов железа кислородом при температуре 973–1173 К с образованием равновесной смеси хлоридов железа, кислорода, оксидов железа и хлора. Затем реакционная смесь попадает во вторую зону реактора, где она охлаждается на 50–100 К. При этом равновесие смещается в сторону образования оксидов железа и хлора, в результате чего увеличивается их выход. Во избежание загрязнения получаемого хлора кислородом авторы [13] предлагают вести процесс окисления с избытком хлорида железа.

Основные проблемы, выявленные нами в эксперименте, – это улавливание макрочастиц Fe_2O_3 из потока хлора и стойкость материала реактора. При 1000–1373 К кварц и керамика с высоким содержанием SiO_2 очень быстро разрушаются в местах контакта с FeCl_2 .

Как вариант, реакцию (3) мы проводили и при 773 К. Осажденные в холодной зоне реактора хлорирования (реакция (2)) кристал-

лы твердого FeCl_2 с размером <1 мм окислялись кислородом до Fe_2O_3 ; характерное время реакции составляло 15 мин. Трудностей с улавливанием оксидов железа не было.

ВЫВОДЫ

Резюмируя изложенное выше, можно сделать следующие выводы:

- Повысить производительность промышленного Дикон-реактора на порядок можно, заменив медные катализаторы на ванадиевые. При этом не устраняются недостатки катализитического процесса: сокращение ресурса работы катализатора и выхода хлора с повышением температуры и производительности реактора. Использование ванадиевых катализаторов требует дополнительных систем улавливания и рециклинга ванадия.

- Замена катализитического способа конверсии HCl на двухстадийный железоводородный цикл дает выигрыш в производительности по сравнению с традиционным Дикон-реактором с медным катализатором на два порядка или более благодаря повышенной температуре процесса (900–1373 К).

- В отличие от катализитического, некатализитический железоводородный способ требует расхода дополнительного реагента – водорода – и более сложного аппаратурного оформления (двухстадийность, улавливание и возврат в процесс оксидов железа, повышенные требования к стойкости материалов реактора в хлорсодержащих газах при высокой температуре).

Работа выполнена при финансовой поддержке ОХНМ РАН (проект 5.5.3) и госконтракта 02.740.11.0269.

СПИСОК ЛИТЕРАТУРЫ

- Парфенов О. Г., Пашков Г. Л. Проблемы современной металлургии титана. Новосибирск: Изд-во СО РАН, 2008. 279 С.
- Парфенов О. Г., Пашков Г. Л. Парфенов О. Г., Пашков Г. Л. // Докл. РАН. 2008. Т. 422, № 2. С. 202–203.
- Парфенов О. Г. Научные основы субхлоридной комплексной переработки нещелочного сырья на примере титаномагнетитовых и ильменитовых концентратов: автореф. дис. ... д-ра техн. наук. М., 2009.
- US Pat. 3968050, 1976.
- US Pat. 4119705, 1978.

- 6 US Pat. 4269817, 1981.
- 7 Фещенко Л. В., Власенко В. М., Чернобривец В. Л., Курилец Я. П. // Журн. прикл. химии. 1991. № 64. С. 2040–2044.
- 8 Hisham M. W. M., Benson S. W. // J. Phys. Chem. 1995. № 99. Р. 6194–6198.
- 9 Фотиев А. А., Слободин Б. В., Ходос М. Я. Ванадаты. Состав, получение, структура, свойства. М: Наука, 1988. 272 С.
- 10 Иоффе И. И., Письмен Л. М. Инженерная химия гетерогенного катализа. Л.: Химия, 1972. 464 с.
- 11 Int. Pat. WO 01/64578 A1, 07.09.2001.
- 12 US Pat. 4 073 874, 1978.
- 13 US Pat. 3 325 252, 1967.